

1 ВВЕДЕНИЕ

2 Металлические наноструктуры привлекают к себе большое внимание благодаря своим
3 уникальным характеристикам, связанным с возможностью возбуждения в них плаз-
4 монных резонансов на частоте падающего на наночастицу электромагнитного излу-
5 чения. Основной интерес к таким плазмонным наноструктурам обусловлен их уникальной
6 способностью локализовать электромагнитные поля на нанометровых масштабах, су-
7 щественно меньших дифракционного предела, что позволяет контролировать свойства
8 света в размерах, намного меньших его длины волны [1, 2].

9 Благодаря плазмонным резонансам в наноструктурах происходит существенное уве-
10 личение локальной плотности энергии поля, что приводит к возможности проявления в
11 них различного рода нелинейных эффектов, включающих многофотонную люминесцен-
12 цию [3–6], четырехволновое смешивание [7, 8, 10, 11], и генерацию гармоник оптического
13 излучения [12–14].

14 В частности, явление генерации второй гармоники в наноструктурах, возможность
15 возникновения которого в ограниченных металлических объектах была впервые обна-
16 ружена экспериментально и объяснена теоретически в работах [15, 16], является в на-
17 стоящее время основой для широкого круга практических применений, включающего
18 диагностику наноструктур [17] и оптических сред [18].

19 Важным фактором, благодаря которому наноструктуры и основанные на них мета-
20 материалы могут служить эффективным инструментом для генерации второй гармони-
21 ки, является возможность резонансного усиления поля не только основной гармоники
22 оптического излучения, но и его второй гармоники при совпадении удвоенной частоты
23 с собственной частотой другой плазмонной модой наноструктуры.

24 К настоящему моменту явление двойного плазмонного резонанса исследовалось фак-
25 тически только для наноструктур обеспечивающих одновременное возбуждение двух

26 различных поверхностных плазмонов наночастицы на основной и удвоенной гармонии-
27 ках падающего излучения.

28 Однако в общем случае в наноструктуре, помимо поверхностных плазмонов могут
29 существовать и объемные плазмоны ω_p — моды коллективных электронных колебаний,
30 представляющие собой стоячие плазменные (Ленгмюровские) волны и возникающие
31 из-за пространственной дисперсии (нелокальности поляризуемости плазмы). Объем-
32 ные плазмоны, как известно, могут сильно проявлять себя в случае, когда источник
33 возбуждения коллективных электронных колебаний находится внутри наночастицы и
34 характеризуется неоднородным распределением поля, что, например имеет место в за-
35 дачах спектроскопии характеристических потерь энергии электронами (англ. Electron
36 Energy Loss Spectroscopy) при рассеянии пучков заряженных частиц наноструктурами.

37 Подобная ситуация может возникнуть и в задачах генерации второй гармоники,
38 когда обусловленные нелинейностью токи второй гармоники, возбуждаемые при ре-
39 зонансе поверхностного плазмона на основной частоте колебаний, могут возбуждать
40 объемные плазмонные колебания в наночастице. Данный эффект может иметь место,
41 например, в случае наноструктуры простейшей формы, металлической сферической на-
42 ночастицы, однако к настоящему моменту двойные плазмонные резонансы типа поверх-
43 ностный плазмон \rightarrow объемный плазмон фактически не были исследованы и являются
44 предметом исследования данной работы.

45 В данной работе на основании гидродинамической модели [19–21] исследуются нели-
46 нейные эффекты, обусловленные возникновением резонансов объемных плазмонов на
47 удвоенной частоте в условиях, когда частота основной гармоники наночастицы также
48 испытывает резонанс и совпадает с частотой дипольного поверхностного плазмона на-
49 ночастицы (хорошо известный резонанс Ми). Работа организована следующим образом:
50 вначале на основе уравнений гидродинамики с использованием метода последователь-

ных приближений сформулированы краевые задачи, описывающие в квазистатическом приближении пространственное распределение поля и плотности заряда на основной и удвоенной гармониках внешнего поля в малой металлической наночастице произвольной формы. Далее описано решение этих задач применительно к случаю сферической наночастицы, и исследованы условия отвечающие условию возбуждения в наночастицах двойных резонансов типа поверхностный плазмон – объемный плазмон. После приводятся результаты расчетов, иллюстрирующие влияние исследуемых резонансов на частотные зависимости сечения поглощения сферических наночастиц и сформулированы основные результаты работы.

1 ПОСТАНОВКА ЗАДАЧИ

Рассмотрим металлическую наночастицу произвольной формы, находящуюся в заданном внешнем поле падающей электромагнитной волны, и находящуюся в среде с диэлектрической проницаемостью ε_d . Как известно, достаточно подробное описание нелинейной динамики носителей в квазиклассическом приближении может быть получено с помощью набора уравнений гидродинамики (уравнение непрерывности и уравнение Эйлера), описывающих электронную плазму как сжимаемую заряженную жидкость [ОБЗ ТЕОР ГД 12–15].

При дальнейшем построении физической модели исследуемых двойных резонансов будем считать выполненными ряд приближений, а именно будем предполагать, что (I) размеры наночастицы малы по сравнению с длиной падающей волны и допустимо квазистатическое приближение для описания поля внутри и вблизи поверхности наночастицы (II) вклад в магнитную составляющую силы Лоренца, действующую на электроны в металле пренебрежимо мал, (III) электроны находятся внутри бесконечно глубокой потенциальной ямы, то есть будем пренебрегать эффектом размывания про-

75 филья электронной плотности близ границы металла (так называемый spill-out effect)
 76 ||, возникающим при учете давления электронов и (IV) положительный заряд ионного
 77 остова с равномерной плотностью распределен по объему наночастицы (предполагает-
 78 ся, что в отсутствие внешнего поля электроны, как и ионы, распределены равномерно
 79 по объему частицы с плотностью N_0 , а диэлектрическая проницаемость ионного остова
 80 материала частицы равна ε_∞):

$$\frac{v_F}{\omega_p} \ll L \ll \frac{2\pi c}{2\omega\sqrt{\varepsilon_{d,\infty}}}, \quad v \ll c, \quad (1)$$

81 где $v_F = \hbar(3\pi^2 N_0)^{1/3}/m$ — скорость Ферми, c — скорость света, e и m — заряд и масса
 82 электрона, \hbar — постоянная Планка, L — характерный размер частицы, ω — частота
 83 падающего поля, $\omega_p^2 = 4\pi e^2 N_0/m$ — плазменная частота.

84 Вместе с условиями применимости гидродинамического подхода указанные выше
 85 условия несколько сужают область применимости рассматриваемой модели, однако по-
 86 скольку ранее двойные плазмонные резонансы обсуждаемого здесь типа фактически не
 87 исследовались, такое упрощение модели представляется оправданным первым шагом
 88 на пути построения более точной модели. Таким образом, с учетом указанных предпо-
 89 ложений, нелинейная динамика коллективных электронных колебаний в наночастице
 90 подчиняется системе уравнений:

$$\frac{\partial N}{\partial t} + \text{div}(N\mathbf{v}) = 0, \quad (2)$$

91

$$\frac{\partial \mathbf{v}}{\partial t} + \nu \mathbf{v} + (\mathbf{v}\nabla)\mathbf{v} = \frac{e}{m}\mathbf{E} - \frac{1}{mN}\nabla p, \quad (3)$$

92 где \mathbf{v} — скорость электронов, N — возмущённая концентрация электронов, ν — эффектив-
 93 ная частота соударений электронов, $\mathbf{f} = N\mathbf{v}$ имеет смысл потока электронов, p — давле-
 94 ние электронов. Конкретный вид выражения для последней из перечисленных величин,
 95 фактически отвечающей за нелокальность поляризационного отклика плазмы, являл-
 96 ся предметом множества дискуссий и в настоящее время существует широкий спектр

97 моделей, описывающих эту величину применительно к различным условиям. В рамках
 98 рассматриваемой здесь простой модели мы используем следующее феноменологическое
 99 уравнение состояния, отвечающее исследуемому здесь случаю быстрого адиабатическо-
 100 го процесса и позволяющее получить из описанных выше уравнений (2), (3) известный
 101 закон дисперсии как для поверхностных, так и для объемных плазмонов:

$$p = p_0(N/N_0)^\gamma, \quad p_0 = mv_F^2 N_0/5, \quad \gamma = 3. \quad (4)$$

102 Следуя обычной процедуре метода возмущений, применяемого в случае слабой нели-
 103 нейности, представим в уравнениях неизвестные плотность электронов, скорость и на-
 104 пряженность поля в виде суммы гармонических слагаемых, изменяющихся на частоте,
 105 кратной частоте внешнего поля. Далее сопоставляя в получившихся уравнениях вели-
 106 чины одинакового порядка малости, получаем следующие уравнения, определяющие
 107 комплексные амплитуды плотности заряда и потенциала поля для основной ($\omega_1 = \omega$,
 108 $n = 1$) и удвоенной ($\omega_2 = 2\omega$, $n = 2$) гармоник.

$$\Delta\rho_n + k_p^2(\omega_n)\rho_n = -\frac{1}{4\pi r_0^2}\Delta\varphi^{ex} + \frac{\omega_n(\omega_n - i\nu)}{\omega_p^2 r_0^2}\rho^{ex}, \quad (5)$$

109

$$\Delta\varphi_n = -\frac{4\pi}{\varepsilon_\infty}\rho_n, \quad n = 1, 2. \quad (6)$$

110 ОБОЗНАЧЕНИЕ R0 ВВЕСТИ Введенные в уравнения обозначения φ^{ex} и ρ^{ex} играют
 111 фактически роль расположенных внутри плазмы сторонних источников колебаний. Для
 112 первой гармоники они, очевидно, тождественно равны нулю и введены только для более
 113 краткой и единой записи результирующих уравнений. Для колебаний второй гармоники
 114 выражения для источников определяется выражениями

$$-2i\omega\rho^{ex} = \frac{1}{2}\operatorname{div}\rho_1\mathbf{v}_1, \quad (7)$$

115

$$\varphi^{ex} = \frac{m}{4e}\left(\frac{v_0^2}{N_0^2}N_1^2 + \mathbf{v}_1^2\right), \quad (8)$$

и фактически имеют смысл сторонней осциллирующей плотности заряда, (возникающей из-за нелинейного слагаемого в уравнении непрерывности (2)) и потенциала стороннего поля, определяющего дополнительную силу, действующую на заряды плазмы на удвоенной частоте (возникающего из-за нелинейности уравнения состояния (4) и из-за конвективного члена в уравнении (3)).

Система уравнений (6), (5) должна быть дополнена граничными условиями на поверхности наночастицы. Первые из используемых нами граничных условий, вытекают непосредственно из уравнений Максвелла

$$\varphi_n|_S = \varphi_n^{out}|_S \quad (9)$$

$$\varepsilon_\infty \frac{\partial \varphi_n}{\partial \mathbf{n}} \Big|_S = \varepsilon_d \frac{\partial \varphi_n^{out}}{\partial \mathbf{n}} \Big|_S, \quad n = 1, 2, \quad (10)$$

и связывают потенциалы электрического поля внутри наночастицы с соответствующими потенциалами $\varphi_{1,2}^{out}$ в окружающем ее однородном диэлектрике, удовлетворяющими уравнениям Максвелла. Последнее, необходимое для однозначного решения сформулированных уравнений, граничное условие определяется характером движения электронов близ границы наночастицы. В случае принимаемого здесь условия зеркального отражения электронов от поверхности металла соответствующее граничное условие принимает вид,

$$\mathbf{v}_n = -\frac{e}{i(\omega_n - i\nu)m} \nabla \psi_n \quad (11)$$

$$\frac{\partial \psi_n}{\partial \mathbf{n}} \Big|_S = 0, \quad \psi_n = \varphi_n + 4\pi r_0^2 \rho_n + \varphi^{ex}, \quad n = 1, 2, \quad (12)$$

где $\psi_{1,2}$ фактически имеют смысл потенциала скорости электронов на основной и удвоенной гармониках колебаний.

Сформулированная система уравнений, как и в других подобных работах, посвященных исследованию генерации второй гармоники в условиях двойных резонансов, позволяет рассчитать структуру колебаний []. Новым основным новым элементом здесь

является здесь учет нелокальности поляризации плазмы не только для основной, но и для удвоенной гармоники, что позволяет описать возникновение резонансов объемных плазмонов на этой частоте. Как известно, поле объемных плазмонов сильно локализовано внутри наночастицы и соответствующие им резонансы обычно слабо проявляются в спектрах рассеянного излучения, однако как будет показано далее, возбуждение объемных плазмонов на удвоенной частоте может приводить к заметному изменению поглощаемой наночастицей мощности. Расчет спектров поглощения в рамках рассматриваемой модели может быть выполнен следующим образом. Потери энергии обусловлены наличием в уравнении (3) диссипативной силы, с плотностью $\mu = m\nu\mathbf{f}$. Средняя за период плотность мощности этой силы очевидным образом может быть выражена через комплексные амплитуды плотностей потока и скоростей первой и второй гармоник. Интегрируя по объему наночастицы с учетом соотношений (5), (6) и граничного условия (12), приходим к следующему выражению для средней за период мощности потерь во всем объеме наночастицы:

$$Q = \frac{\nu}{2} \text{Re} \iiint \left(\frac{\omega}{i(\omega - i\nu)} \rho_1 \psi_1^* + \frac{2\omega}{i(2\omega - i\nu)} \rho_2 \psi_2^* \right) dV. \quad (13)$$

2 СФЕРИЧЕСКАЯ НАНОЧАСТИЦА

Применительно к сферической наночастице радиуса a , помещенной в однородную среду с проницаемостью ε_d решение линейной задачи, описывающей колебания на частоте внешнего поля хорошо известно (см. например [1]), и выражается через сферические функции Бесселя j_n). Как можно показать, выражения для потенциала и плотности заряда в этом случае имеют следующий вид

$$C = \frac{-3\varepsilon_d E_0}{\varepsilon + 2\varepsilon_d[1 + (\varepsilon/\varepsilon_\infty - 1)G_1]}, \quad (14)$$

$$\rho_{01} = \frac{\varepsilon - 1}{4\pi} k_{p1} \frac{C}{j_1'(\kappa_1)}, \quad (15)$$

$$\rho_1 = C \frac{-k_{p1}^2 a \omega_p^2}{4\pi\omega(\omega - i\nu)} \frac{j_1(k_{p1}r)}{\varkappa_1 j_1'(\varkappa_1)} \cos \theta, \quad \varphi_1 = Cr + \frac{4\pi\rho_1}{\varkappa_1^2 \varepsilon_\infty}, \quad (16)$$

УБРАТЬ ОТДЕЛЬНУЮ КАППА? где a — радиус сферы, θ и r — полярный угол и радиус, $G_1 = j_1(\varkappa_1)/\varkappa_1 j_1'(\varkappa_1)$, $\varkappa_1 = k_p(\omega)a$, $k_{p1,2} = \sqrt{[\omega_{1,2}(\omega_{1,2} - i\nu) - \omega_p^2/\varepsilon_\infty]/v_0^2}$, $\varepsilon = \varepsilon_\infty - \omega_p^2/\omega(\omega - i\nu)$. Последнее из перечисленных величин имеет смысл диэлектрической проницаемости металла в отсутствие нелокальности. Положение наиболее сильного из них, дипольного поверхностного плазмона (резонанс Ми), без учета пространственной дисперсии, зависит от диэлектрической проницаемости внешней среды, определяется выражением $\varepsilon + 2\varepsilon_d \approx 0$, и частота генерируемой в наночастице второй гармоники колебаний может лежать в области частот отвечающей возможности возбуждения объемных плазмонов. Значения их резонансных частот определяются общим дисперсионным уравнением:

$$m\varepsilon + \varepsilon_d(m+1)(1 + m(\varepsilon/\varepsilon_\infty - 1)G_m) = 0, \quad (17)$$

ПОСМОТРЕТЬ ИНДЕКС G. ПРИ M=0,2 ИНДЕКС КАППА НЕ РАВЕН 0,2 (m — номер мультиполя), которое может быть также получено из решения однородной краевой задачи в отсутствие внешнего поля. В интересующем нас случае слабой пространственной дисперсии $r_0 \ll a$ значения резонансных частот слабо зависят от параметров окружающей среды и приближенно могут быть найдены из соотношения $\varkappa_1 \approx \eta_{m+1}^k$, где η_{m+1}^k k -й корень сферической функции Бесселя порядка $m+1$. Из всех возможных условий двойных резонансов здесь представляет интерес рассмотрение случая с $m=0$ и $m=2$ (монопольные и квадрупольные объемные резонансы соответственно), поскольку в случае сферической наночастицы, как можно увидеть из вида сторонних источников (7) (8), источники поля второй гармоники могут возбуждать только колебания монопольного и квадрупольного типов.

На рисунке (1) проиллюстрированы положения частот резонансов от диэлектри-

182 ческой проницаемости, при типичных для металлических наночастиц значениях пара-
183 метров n , V_f , $W_p =$. ПРО ВОЗМОЖНОЕ ЧИСЛО ДВОЙНЫХ РЕЗОНАНСОВ И
184 УСЛОВИЯ ДЛЯ ИХ ВОЗНИКНОВЕНИЯ (ПРО НЮ)

185 На основании решения краевых задач для трех мультипольных составляющих по-
186 тенциала и плотности заряда полная средняя за период мощность потерь может быть
187 рассчитана как $Q = Q_{dip} + Q_{mono} + Q_{quad}$, где содержит вклады от дипольных колебаний
188 на основной частоте (Q_d) и монополярных и квадрупольных колебаний на удвоенной ча-
189 стоте внешнего поля (Q_{mono} , $m = 0$ и Q_{quad} , $m = 2$ соответственно). Более подробное
190 описание расчета мощности потерь описано в приложении. Помимо этого, для диполь-
191 ных плазмонов необходимо учесть дополнительные потери, обусловленные поверхност-
192 ными потерями. Для этого эффективную частоту соударений электронов дипольных
193 плазмонов можно представить в виде $\nu_{dip} = \nu + 3/4 v_F / a / \omega_p$ [1].

194 На рисунках (2), (3) представлены зависимости мощности потерь от частоты при
195 различных значениях проницаемостей ε_∞ и ε_d . Сплошной линией указана полная мощ-
196 ность потерь, точечной линией – вклад в потери от дипольных колебаний, пунктир и
197 пунктир с точкой вклад от монополярных и квадрупольных колебаний соответственно.

198 Из приведенных графиков видно, что дополнительные резонансы не проявляются в
199 виде отдельных пиков на фоне основных потерь энергии, однако из-за этого увеличи-
200 вается суммарная мощность потерь. Стоит отметить влияние монополярных резонансов,
201 которые не проявляются в лазерной спектроскопии, так как потенциал монополярных ко-
202 лебаний не выходит за границы частицы, а также не возбуждаются однородным полем.
203 Так же, в некоторых случаях происходит уширение линии потерь. При этом чем ближе
204 резонансная частота находится к удвоенной частоте первой гармоники, тем больший
205 вклад в потери вносит тот или иной тип колебаний.

206 Чтобы показать, насколько восприимчивы двойные резонансы к параметрам внеш-

ней среды можно построить зависимость максимального значения потерь от диэлектрической проницаемости внешней среды. На рисунке (4) представлены результаты расчетов для сферической наночастицы натрия, при характерных для натрия параметрах $v_F = 1.07 \cdot 10^8$ см/с, $\omega_p = 5.71$ эВ, $\nu = 0.03$ эВ, $E_0 = 10^8$ Вт/см².

В практических задачах чаще сталкиваются с наночастицами покрытыми слоем диэлектрика, а не находящимися в сплошной среде, как представлено в данной работе. Однако, модифицируя граничные условия, можно получить следующее дисперсионное уравнение для наночастицы в слое диэлектрика толщиной b :

$$\varepsilon + \varepsilon_d \frac{m+1}{m} \frac{1 - K_m}{1 + (m+1)K_m/m} = 0, \quad K_m = \left(\frac{a}{b}\right)^{2m+1} \frac{\varepsilon_d - 1}{\varepsilon_d + (m+1)/m} \quad (18)$$

3 ЗАКЛЮЧЕНИЕ

В работе продемонстрировано, что в сферических металлических наноструктурах можно возбуждение двойных плазмонных резонансов, включающих поверхностные плазмоны на основной частоте и объемные плазмоны на удвоенной частоте. Это явление обусловлено нелинейными эффектами, которые усиливаются благодаря резонансным условиям. Результаты показывают, что такие резонансы приводят к увеличению областей мощности поглощения энергии наночастицей, а также могут влиять на уширение спектральных линий. Интерес так же представляет возбуждение монополярных колебаний, которые обычно слабо проявляются. С практической стороны, благодаря эффекту двойного резонанса и высокой чувствительности к параметрам внешней среды наночастицы могут служить источниками излучения для нужд диагностики оптических сред и спектроскопии.

227 4 ПРИЛОЖЕНИЕ

228 Для второй гармоники, в случае сферической наночастицы, можно получить вид функ-
229 ций для сторонних источников:

$$\varphi^{ex} = \frac{e}{4\pi\omega_p^2} [(4\pi)^2 r_0^2 \rho_1^2 - \frac{\omega_p^2}{(\omega - i\nu)^2} (\nabla\psi_1)^2], \quad (19)$$

$$\rho^{ex} = \frac{e}{4m\omega(\omega - i\nu)} (-4\pi\rho_1^2 \frac{w(\omega - i\nu)}{\omega_p^2} + \nabla\psi_1 \nabla\rho_1). \quad (20)$$

230 Поскольку выражения для потенциала и электронной плотности на первой гармонике
231 известно (), можно заметить что сторонние источники () состоят из суммы слагаемых
232 пропорциональных квадратам косинуса и синуса. Значит, для дальнейшего решения
233 этой задачи методом разделения переменных, можно представить правую часть урав-
234 нения () (сторонние источники) в виде произведений некоторых радиальных функций
235 на полиномы Лежандра P_m :

$$\varphi^{ex} = F_0^\varphi(r)P_0(\cos\theta) + F_2^\varphi(r)P_2(\cos\theta), \quad (21)$$

$$\rho^{ex} = F_0^\rho(r)P_0(\cos\theta) + F_2^\rho(r)P_2(\cos\theta), \quad (22)$$

237 где $F_{0,2}^{\varphi,\rho}(r)$ радиальные функции при соответствующих полиномах Лежандра. Пред-
238 ставление сторонних источников в виде (), явно показывает наличие монопольных (P_0)
239 и квадрупольных (P_2) источников. А значит и искомые функции φ_2 и ρ_2 можно пред-
240 ставить в аналогичном виде:

$$\varphi_2 = R_0(r)P_0(\cos\theta) + R_2(r)P_2(\cos\theta), \quad (23)$$

$$\rho_2 = \Phi_0(r)P_0(\cos\theta) + \Phi_2(r)P_2(\cos\theta), \quad (24)$$

242 где $R_{0,2}$, $\Phi_{0,2}$ неизвестные радиальные функции. Тогда от системы уравнений () пере-
243 ходим к следующей (для $m = 0, 2$):

$$(\hat{L}_m + \kappa_p^2)R_m = -\frac{1}{4\pi r_0^2}\hat{L}_m F_m^\varphi + \frac{2\omega(2\omega - i\nu)}{\omega_p^2 r_0^2}F_m^\rho, \quad (25)$$

244

$$\hat{L}_m \Phi_m = -\frac{4\pi}{\varepsilon_\infty}R_m, \quad \hat{L}_n = \frac{1}{r^2}\frac{\partial}{\partial r}\left(r^2\frac{\partial}{\partial r}\right) - \frac{m(m+1)}{r^2}. \quad (26)$$

245 Дополняя уравнения () граничными условиями аналогично (), можно решать образо-
 246 вавшуюся систему уравнений относительно радиальных функций $(R_{0,2}, \Phi_{0,2})$ различны-
 247 ми методами решения дифференциальных уравнений. В данной работе система реша-
 248 лась численными методами, с помощью метода Галеркина и метода матричной прогон-
 249 ки. Мощность потерь можно рассчитать по найденным радиальным функциям следу-
 250 ющим образом:

$$Q_m = \frac{2\pi\nu}{2m+1} \operatorname{Re} \frac{2\omega}{i(2\omega - i\nu)} \int_0^a R_m (\Phi_m + 4\pi r_0^2 R_m + F_m^\varphi)^* r^2 dr, \quad m = 0, 2. \quad (27)$$

251 В ведённых обозначениях, $Q_{mono} \equiv Q_0$ и $Q_{quad} \equiv Q_2$ мощности потерь монопольной и
 252 квадрупольной составляющей второй гармоники соответственно.

253 Списание литературы

- 254 [1] Maier S. A. Plasmonics: Fundamentals and Applications. New York: Springer, 2007.
255 229 p.
- 256 [2] Gramotnev D. K., Bozhevolnyi S. I. // Nat. Photonics. 2010. V. 4. P. 83–91. doi:
257 10.1038/nphoton.2009.282
- 258 [3] Castro-Lopez M., Brinks D., Sapienza R., van Hulst N. F. // Nano Lett. 2011. V. 11.
259 P. 4674–4678. doi: 10.1021/nl202255g
- 260 [4] Biagioni P., Brida D., Huang J.-S., et al. // Nano Lett. 2012. V. 12, No. 7. P. 2941–2946.
261 doi: 10.1021/nl300616s.
- 262 [5] Chen H., Sun M., Ma J., et al. // ACS Photonics. 2021. V. 8, No. 4. P. 1084–1092. doi:
263 10.1021/acsphotonics.0c01747.
- 264 [6] Ko K.D., Kumar A., Fung K.H., et al. // Nano Lett. 2011. V. 11, No. 1. P. 61–65. doi:
265 10.1021/nl102751m.
- 266 [7] Danckwerts M., Novotny L. // Phys. Rev. Lett. 2007. V. 98. 026104. doi:
267 10.1103/PhysRevLett.98.026104.
- 268 [8] Harutyunyan H., Volpe G., Quidant R., et al. // Phys. Rev. Lett. 2012. V. 108. 217403.
269 doi: 10.1103/PhysRevLett.108.217403.
- 270 [9] Li J.-B., Liang S., Xiao S., He M.-D., Kim N.-C., Chen L.-Q., Wu G.-H., Peng Y.-X., Luo
271 X.-Y., Guo Z.-P. // Opt. Express. 2016. V. 24. P. 2360–2369. doi: 10.1364/OE.24.002360
- 272 [10] E. Paspalakis, S. Evangelou, S. G. Kosionis, and A. F. Terzis, *J. Appl. Phys.*, vol. 115,
273 no. 8, p. 083106, 2014, doi: 10.1063/1.4866424.

- [11] S. K. Singh, M. Kurtulus Abak, and M. E. Tasgin, *Phys. Rev. B*, vol. 93, no. 3, p. 035410, 2016, doi: 10.1103/PhysRevB.93.035410.
- [12] E. Drobnýh and M. Sukharev, *J. Chem. Phys.*, vol. 152, no. 9, p. 094706, 2020, doi: 10.1063/1.5143238.
- [13] D. A. Smirnova, I. V. Shadrivov, A. E. Miroshnichenko, A. I. Smirnov, and Y. S. Kivshar, *Phys. Rev. B*, vol. 90, no. 3, p. 035412, 2014, doi: 10.1103/PhysRevB.90.035412.
- [14] Torres-Torres C. // Int. J. Nanomedicine. 2010. P. 925. doi: 10.2147/ijn.s12463
- [15] P. A. Franken, A. E. Hill, C. P. Peters, and G. Weinreich, *Phys. Rev. Lett.*, vol. 7, no. 7, pp. 118–119, 1961, doi: 10.1103/PhysRevLett.7.118.
- [16] Bloembergen N., Pershan P. S. // Phys. Rev. 1962. V. 128, No. 2. P. 606–622. doi: 10.1103/physrev.128.606
- [17] J. Butet, P.-F. Brevet, and O. J. F. Martin, *ACS Nano*, vol. 9, no. 11, pp. 10545–10562, 2015, doi: 10.1021/acs.nano.5b04373.
- [18] Butet J., Russier-Antoine I., Jonin C. и др. // Nano Lett. 2012. V. 12, No. 3. P. 1697–1701. doi: 10.1021/nl300203u
- [19] Haas F. Quantum plasmas: An hydrodynamic approach. New York : Springer, 2011. 65 p.
- [20] Electromagnetic surface modes / ed. by A. D. Boardman. Chichester : Wiley, 1982. 770 p.
- [21] Manfredi G., Hervieux P.-A., Hurst J. // Rev. Mod. Plasma Phys. 2021. V. 5. P. 7. doi: 10.1007/s41614-021-00056-y

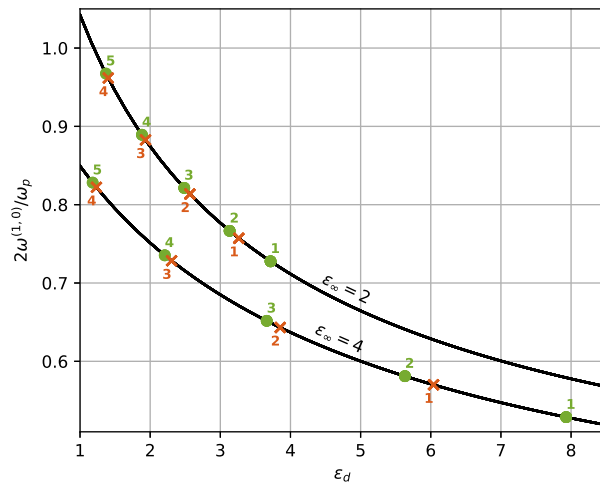


Рис. 1: Положение частоты основного дипольного поверхностного резонанса (сплошная линия) в зависимости от диэлектрической проницаемости внешней среды, а также положения резонансных частот при $m = 0, 2$ (монопольные и квадрупольные объемные резонансы), при разной диэлектрической проницаемости ионного остова

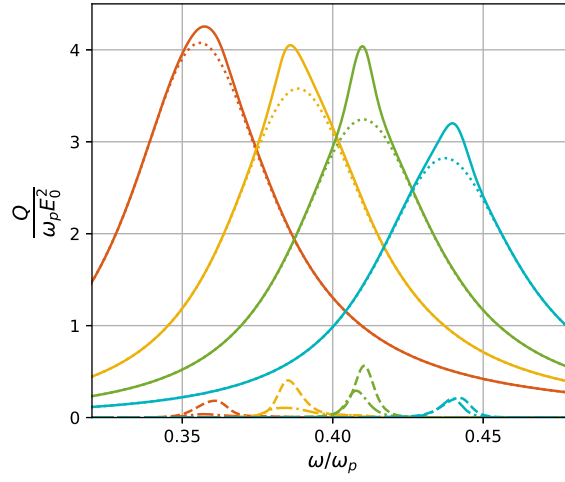


Рис. 2: Зависимость мощности потерь от частоты при $\varepsilon_\infty = 2$, $\varepsilon_d = 4, 3, 2.5, 2$ соответственно слева направо.

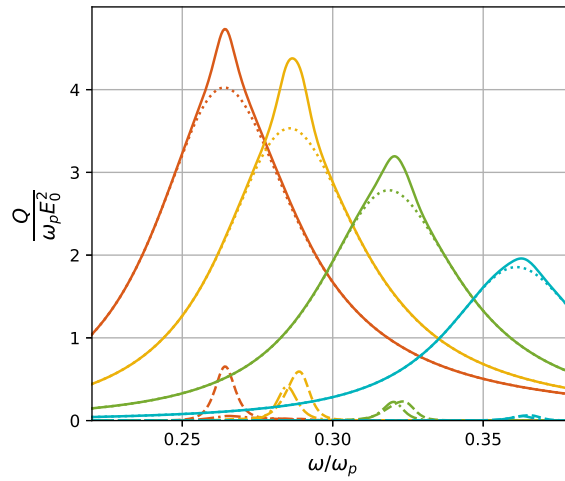


Рис. 3: Зависимость мощности потерь от частоты при $\varepsilon_\infty = 4$, $\varepsilon_d = 4, 3, 2.5, 2$ соответственно слева направо.

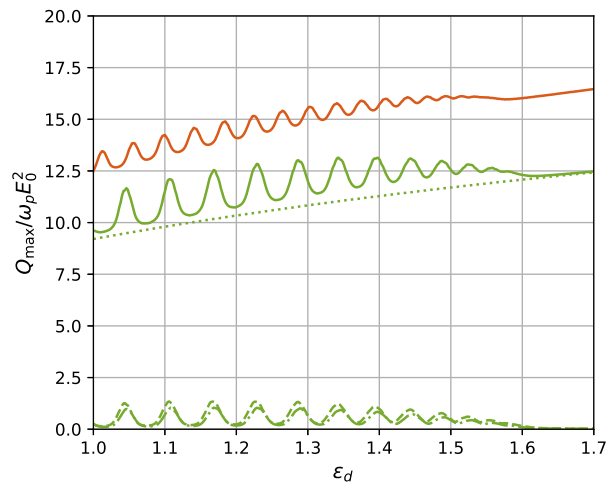


Рис. 4: Зависимость максимальной мощности потерь для сферической наночастицы натрия радиусом =